



## شناسایی پنهانه‌های مستعد تولید گردوغبار با استفاده از منطق فازی و تحلیل سلسله‌مراتبی در جنوب شرقی دریاچه ارومیه

سعید حسین زاده خاچک، امید رفیعیان<sup>\*</sup>، خلیل ولیزاده کامران، محمد رضا دلالیان، غلام حسن محمدی

۱- دانشجوی دکترا گروه محیط زیست، واحد تبریز، دانشگاه آزاد اسلامی، تبریز، ایران.

ایمیل: [saeid.ho2020@gmail.com](mailto:saeid.ho2020@gmail.com)

۲- استادیار گروه محیط زیست، واحد تبریز، دانشگاه آزاد اسلامی، تبریز، ایران - مرکز تحقیقات مدیریت

توسعه پایدار حوضه آبریز دریاچه ارومیه و رودخانه ارس

ایمیل: [o\\_rafieyan@yahoo.ca](mailto:o_rafieyan@yahoo.ca)

۳- استاد گروه سنجش از دور و GIS دانشگاه تبریز ایمیل: [valizadeh@tabrizu.ac.ir](mailto:valizadeh@tabrizu.ac.ir)

۴- استادیار گروه علوم و مهندسی خاک، واحد تبریز، دانشگاه آزاد اسلامی، - مرکز تحقیقات مدیریت توسعه

پایدار حوضه آبریز دریاچه ارومیه و رودخانه ارس ایمیل: [mdalalian@gmail.com](mailto:mdalalian@gmail.com)

۵- دانش آموخته دکتری اقلیم شناسی، کارشناس هواشناسی سازمان هواشناسی کشور، اداره کل هواشناسی

آذربایجان شرقی، تبریز، ایران

ایمیل: [gh.mohammadi88@gmail.com](mailto:gh.mohammadi88@gmail.com)

### چکیده

در کنار حوادث طبیعی همچون سیل، که آسیب‌های بسیار زیادی به محیط‌زیست و مجتمع انسانی وارد می‌کند، پدیده گردوغبار نیز بهنوبه خود آسیب‌های جرمان‌ناپذیری به محیط‌های شهری، سیستم‌های حمل و نقلی، سیستم تنفسی و... تحمیل می‌نماید. شناسایی کانون مستعد، اولین گام جهت کنترل و جلوگیری از رخداد چنین پدیده‌ای محسوب می‌گردد. تحقیقات مختلفی جهت شناسایی کانون‌های گردوغبار شده است، ولی در اغلب مطالعات از تصاویر کوچک مقیاس استفاده شده است. هدف از این تحقیق، استفاده از تصاویر متوسط مقیاس ماهواره‌ای جهت شناسایی کانون‌های محلی مستعد تولید گردوغبار است. جهت تهیه هر یک از عناصر مؤثر در تولید گردوغبار که شامل: شب، مدل رقومی ارتفاع، کاربری اراضی، شاخص پوشش گیاهی، رطوبت خاک، شوری خاک، سرعت باد، بارش و دمای سطح زمین هستند، از سامانه گوگل ارث انجین استفاده شده است. برای وزن‌دهی عناصر از روش تحلیل سلسله‌مراتبی بهره گرفته شد. نتایج وزن‌های بدست‌آمده برای هر یک از عناصر عبارت‌اند از: رطوبت خاک (۰/۲۶۴)، پوشش گیاهی (۰/۰۸)، سرعت باد (۰/۱۵۳)،

بارش (۰/۱۰۷)، کاربری اراضی و شوری خاک (۰/۰۸۱)، دمای سطح زمین (۰/۰۶۴)، ارتفاع و شیب به ترتیب برابر ۰/۰۲۴ و ۰/۰۲۰ و شاخص ناسازگاری برابر ۱۵/۰ محسوبه شد که بیانگر میزان تناقص بین وزن‌های ارائه شده عنصر نسبت به یکدیگر است که کمتر از آستانه مجاز (۱) است. به دلیل عدم وجود ایستگاه سنجش کیفیت هوا در محدوده، برای صحبت‌سنگی نقشه‌های استنتاجی از محصول عمق اپتیکی هواییها استفاده شد. نقشه نهایی نشان داد که هرچه به ارتفاعات سهند نزدیک‌تر، از وسعت کانون‌ها کاسته شده و هرچه به دریاچه نزدیک‌تر، بر وسعت کانون‌ها افزوده شده است.

**کلمات کلیدی:** گردوغبار، دریاچه ارومیه، سیستم اطلاعات جغرافیایی، گوگل ارث انجین، تحلیل سلسله‌مراتبی، منطقه فازی.

## ۱- مقدمه

یکی از مهم‌ترین مخاطرات محیط‌زیستی و یکی از فرایندهای اقلیمی حائز اهمیت به‌ویژه در اقلیم‌های خشک و نیمه‌خشک و بیابانی جهان، پدیده گردوغبار است (Alizadeh Govarchin Ghale et al., 2021). رخداد و گسترش طوفان گردوغبار به مناطق مجاور، خسارات بی‌شمار و جبران‌ناپذیری را در ابعاد مختلف محیط‌زیست وارد می‌نماید که از آن جمله می‌توان به تأثیر بر بهداشت و سلامت جوامع انسانی، صنعت، کشاورزی، تولید مواد غذایی پایدار، حمل و نقل هوایی و جاده‌ای، اقتصاد و مهاجرت، تأثیر منفی بر روی فعالیت صنایع متعدد، بیلان انرژی و تهدید جدی برای گردشگری اشاره نمود (Katushabe et al., 2021; Feizizadeh et al., 2022).

بر اساس توافق سازمان هواسناسی جهانی (WMO)، هرگاه در هر ایستگاهی سرعت باد از ۱۵ متر بر ثانیه تجاوز و دید افقی به علت گردوغبار کمتر از یک کیلومتر (۱۰۰۰ متر) برسد، طوفان گردوغبار گزارش می‌شود. بر اساس مطالعات صورت‌گرفته، منابع اصلی گردوغبار عبارت‌اند از: بیابان‌ها، مناطق خشک و اراضی با خاک خشک و کشت نشده که تغییرات اقلیمی و رخداد خشکسالی‌های متوالی و فعالیت‌های غیراصولی و برداشت بی‌رویه و کنترل نشده انسان در طبیعت، احتمال وقوع طوفان‌های گردوغبار را افزایش می‌دهد (آرامی و همکاران، ۱۳۹۷).

از این‌رو، شناسایی منشأ تولید گردوغبار کمک قابل توجهی در شناخت خصوصیات فیزیکوشیمیایی این ذرات در راستای اعمال رویکردهای اجرایی مناسب باهدف کنترل، مهار و جلوگیری از گسترش این طوفان‌ها در آینده می‌کند. در مطالعات متعددی از تصاویر سنجش از دور و داده‌های حاصل از آن جهت شناسایی منشأهای گردوغبار استفاده شده است (Yassin et al., 2018؛ انصاری قوچار و همکاران، ۱۳۹۹؛ شایسته و همکاران، ۱۳۹۹؛ حیدری و همکاران، ۱۳۹۹؛ جمال‌پور بیرگانی و همکاران، ۱۴۰۰). در مطالعات صورت‌گرفته از روش‌های گوناگون جهت شناسایی کانون‌های مستعد تولید گردوغبار استفاده شده است؛ ولی در این تحقیق، هدف استفاده

از نقشه‌های متوسط مقیاس با استفاده از سامانه تحت وب گوگل ارث انجین (Google Earth Engine) جهت استخراج پارامترهای اقلیمی و محیطی با بهره‌گیری از روش‌های تصمیم‌گیری چندمعیاره به همراه تجزیه و تحلیل

آن توسط روش منطق فازی و تحلیل سلسله‌مراتبی (Analytical Hierarchy Process) در محیط نرم‌افزار ArcMap version 10.8 جهت شناسایی کانون‌های بالقوه تولید گردید.

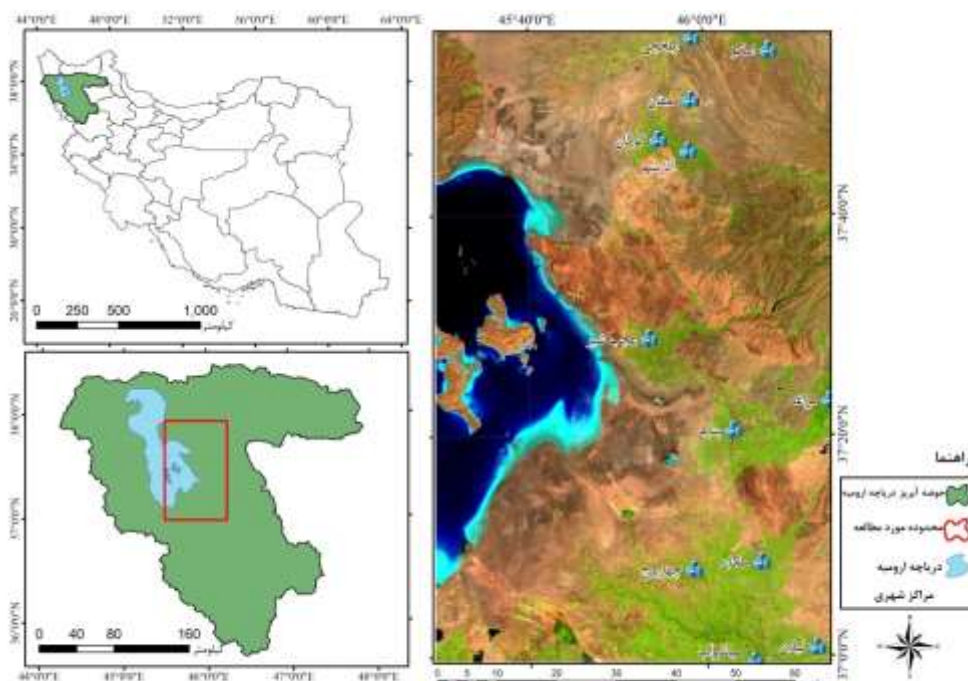
محدوده شرق و جنوب شرقی دریاچه ارومیه از جمله مناطقی است که طی سال‌های اخیر تحت تأثیر کاهش سطح دریاچه ارومیه، وقوع طوفان‌های گردوغبار و تبعات آن بوده است و در آینده ساکنین محدوده مورد مطالعه و همسایگان را دچار تهدیدات جدی می‌نماید (Garajeh et al., 2021; Barhagh et al., 2021).

گوگل ارث انجین یا به اختصار GEE یک سرویس ابری است که توسط گوگل ارائه می‌شود که امروزه جهت تجزیه و تحلیل تصاویر سنجش از دور در سطوح جهانی و محلی استفاده می‌شود و به عنوان یک سامانه تحت ابر تحلیل مکانی، متن‌باز و تحت وب استفاده می‌شود. از مزایای این سامانه می‌توان به دسترسی به داده‌های تصویری سنجش از دور، پردازش سریع داده‌ها، محیط برنامه‌نویسی قدرتمند، داده‌های جغرافیایی زیاد، قابلیت شخصی‌سازی و از معایب آن می‌توان به عدم پوشش کامل نقشه‌ها، نیاز به اتصال به اینترنت، مشکلات سرعت پردازش، نمایش داده‌ها و حفاظت از حریم شخصی اشاره نمود.

## ۲- مواد و روش تحقیق

### ۲-۱- منطقه مورد مطالعه

چارچوب محدوده مورد مطالعه این پژوهش، به اندازه یک گرانول تصویر سنتیبل-۲، در حوضه آبریز دریاچه ارومیه و در قسمت جنوب شرقی دریاچه ارومیه مدنظر است (شکل ۱) از طرفی چون بیشترین تغییرات و تأثیرات را از خشکسالی دریاچه به خود گرفته، حائز اهمیت است. این محدوده در مختصات جغرافیایی ۴۵ درجه و ۲۹ دقیقه و ۳۵ ثانیه تا ۴۶ درجه و ۱۵ دقیقه طول شرقی و ۳۶ درجه و ۵۹ دقیقه و ۳۸ ثانیه تا ۳۷ درجه و ۵۶ دقیقه و ۴۷ ثانیه عرض شمالی قرار دارد. دارای اقلیم نیمه‌خشک با رژیم بارشی مدیترانه‌ای است. از نظر تقسیمات هیدرولوژیک به حوضه آبریز دریاچه ارومیه تعلق داشته و شامل قسمت‌هایی از زیر حوضه‌های آبریز آجی چای سفلا، آذرشهر چای، قلعه چای، صوفی چای، مردوق چای، لیلان چایی، زرینه‌رود و سیمینه‌رود هست. محدوده از غرب به دریاچه ارومیه، از شرق به ارتفاعات سهند، از شمال به شهرستان تبریز و از جنوب به شهرهای مهاباد و میاندوآب ختم می‌شود. در محدوده مذکور حداقل ارتفاع ۱۲۴۰ متر از سطح دریای آزاد در حاشیه دریاچه ارومیه و حداقل آن ۲۸۵۰ متر از سطح دریای آزاد در نزدیکی ارتفاعات سهند است. میانگین دمای متوسط روزانه از ۱۰ درجه سانتی‌گراد در مناطق اطراف دریاچه تا کمتر از ۲/۵ درجه سانتی‌گراد در ارتفاعات سهند متغیر است و میانگین بارندگی در حوضه آبریز دریاچه ارومیه برابر ۳۵۰ میلیمتر است.



شکل (۱): محدوده مورد مطالعه

Fig. (1): Case Study

## ۲-۲-داده‌های مورد استفاده

در این تحقیق از داده‌سته از داده‌ها استفاده گردید؛ دسته اول داده‌های مربوط به عناصر اقلیمی یا عناصر ناپایدار است که شامل لایه‌های میانگین بارش، دمای سطح زمین، رطوبت سطحی خاک، سرعت باد و شوری سطحی خاک است. دسته دوم از داده‌ها، لایه‌ها و اطلاعات مربوط به عوامل زمینی یا عوامل پایدار است که شامل مدل رقومی ارتفاع، شبیه، کاربری اراضی، شاخص نرمال شده تفاوت پوشش گیاهی (Normalized Difference Vegetation Index) تهیه گردید. برای تهیه لایه‌ها از میانگین ۸ سال (۲۰۱۳-۲۰۲۰) استفاده گردید.

## ۲-۳-روش اجرای پژوهش

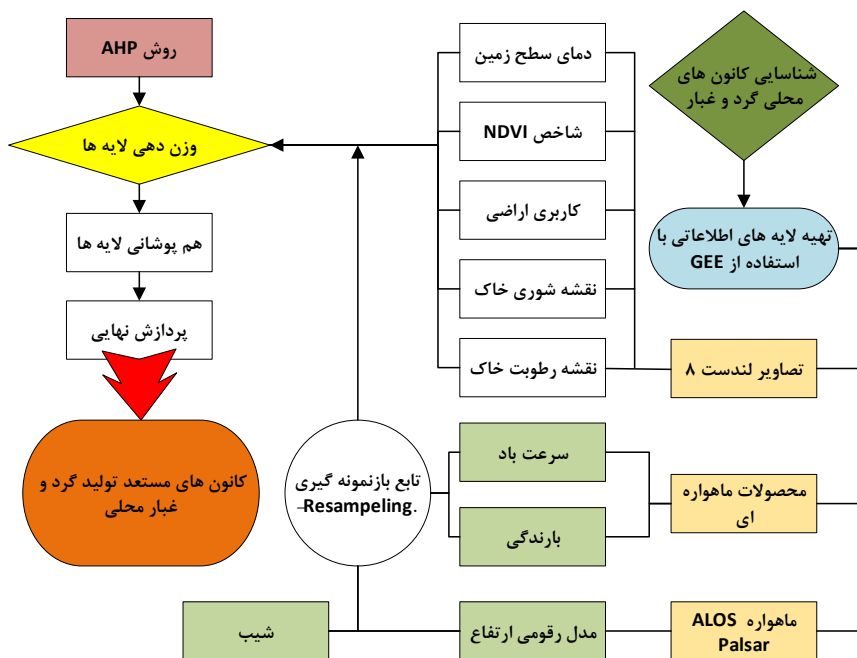
روش انجام تحقیق تحلیلی و آماری بوده که در آن هدف اساسی تعیین نواحی مساعد شکل‌گیری یا گسترش کانون‌های گردوغبار یا به عبارتی پتانسیل‌بایی کانون‌های محلی تولید گردوغبار در جنوب شرقی ارومیه با استفاده از تصاویر ماهواره‌ای لندست-۸ و سنتینل-۲، سامانه GEE، AHP و منطق فازی در محیط نرم‌افزاری ArcGIS است. در این راستا تشکیل پایگاه‌های داده‌های آب‌وهایی و زمینی اولین مرحله کار است. در مرحله

دوم، اقدام به تشکیل، تهیه و استخراج لایه‌های اطلاعاتی این داده‌ها از محیط GEE برای دوره زمانی ۲۰۱۳ تا ۲۰۲۰ گردید. در مرحله سوم، معیارهای در نظر گرفته شده تحقیق در دودسته معیارهای اصلی (رطوبت سطحی خاک، شوری سطح خاک، شاخص دمای سطحی زمین، سرعت باد و پوشش گیاهی) و معیارهای محدودکننده (کاربری اراضی، ارتفاع، بارندگی، شبیب) تقسیم‌بندی شدند. در گام چهارم، از منطقه فازی برای استانداردسازی و روی هم‌گذاری لایه‌ها در ArcGIS استفاده گردید و مدل بهینه به گونه‌ای که مقادیر خطای کمتری را به همراه داشته باشد، انتخاب شد. بعد از تهیه لایه‌های موجود، اقدام به طبقه‌بندی و وزن‌دهی هر کدام از لایه‌ها براساس روش تحلیل سلسله مراتبی (Analytical Hierarchy Process) گردید. در نهایت با توجه به وزن‌های اختصاص داده شده، اقدام به برهم‌زنی وزن دار لایه‌ها در محیط ArcGIS شد و نقشه مناطق مستعد شکل‌گیری کانون‌های گرد و غبار محلی در شرق و جنوب‌شرقی دریاچه ارومیه تولید گردید. فرآیند انجام تحقیق در شکل (۲) ارائه شده است. همچنین در جدول (۱)، موقعیت جغرافیایی ایستگاه‌های سینوپتیک هواشناسی در محدوده مورد مطالعه جهت اخذ اطلاعات هواشناسی ارایه شده است.

جدول (۱): مشخصات ایستگاه‌های سینوپتیک محدوده مورد مطالعه

Table (1): characteristics of synoptic stations in the Case Study

ردیف	نام ایستگاه	کد ایستگاه	طول جغرافیایی (UTM)	عرض جغرافیایی (UTM)	ارتفاع از سطح دریای آزاد (متر)
۱	فرودگاه مراغه	۴۰۷۱۳	۶۰۱۵۱۶,۱۳	۴۱۳۴۰۵۹,۳۶	۱۳۴۲
۲	عجب‌شیر	۹۹۲۳۴	۵۷۶۴۵۵,۱۱	۴۱۵۱۶۸۹,۹۴	۱۳۱۰
۳	بناب	۹۹۲۳۹	۵۹۳۱۶۹,۶۱	۴۱۳۶۴۴۳۸,۲۶	۱۲۸۱
۴	ملکان	۹۹۲۸۴	۵۹۷۱۹۴,۶۹	۴۱۱۴۲۰۰,۳۸	۱۲۹۹



## شكل (٢): فرایند انجام تحقیق

**Fig. (2): The process of doing research**

جدول (۲) نشان‌دهنده ویژگی‌های هریک از عناصر مؤثر در تشکیل کانون‌های مستعد تولید گردوغبار در محدوده موردمطالعه هست که به توصیف هر عنصر مؤثر در شکل‌گیری کانون‌های محلی مستعد تولید گردوغبار می‌پردازد.

جدول (۲): عناصر یا المان‌های مؤثر در تولید کانون‌های محلی مستعد گردوبغار

**Table (2): Elements or elements effective in the production of local sources to dust**

عنصر یا المان	تصویر	ماهواره-	قدرت	تفکیک	مکانی (متر)	آماده	مؤثر	منبع	رابطه
ماهواره آلتیوس	مدل رقومی	پالسار	۱۲/۵	*	http://vertex.daac.asf.alaska.ed <u>u</u>	ارتفاع	ماهواره آلتیوس	ماهواره آلتیوس	ماهواره آلتیوس

عنصر یا المان	تصویر	آماده	مؤثر	ای/محصول	ماهواره-	قدرت	رابطه	منبع
مشتق از مدل رقومی ارتفاع	شیب					۱۲/۵	*	-
محصول	سرعت باد					۴۰۰۰	Terra Climate: Monthly Climate and Climatic Water Balance for Global Terrestrial Surfaces, University of Idaho.	FLDAS-Terra Climate ( <a href="http://www.chc.ucsb.edu">http://www.chc.ucsb.edu</a> )
محصول	بارش					۵۰۰۰	CHIRPS Daily: Climate Hazards Group Infrared Precipitation with Station Data (version 2.0 final). $L\lambda = ML \times Qcal + Al - Oi$ $BT = \frac{K_2}{\ln[(K_1/T_s) + 1]} - 273.15$ $T_s = \frac{BT}{\{1 + [(\lambda \cdot BT/\rho) \ln \varepsilon_\lambda]\}}$	CHIRPS ( <a href="http://Idas.gsfc.nasa.gov">http://Idas.gsfc.nasa.gov</a> )
ماهواره لنdest	دماي سطح زمين	۸-				۳۰		Avdan And Jovanovska (2016)
ماهواره لنdest	شاخص پوشش گياهي	۸-				۳۰	NDVI = $(\rho_{NIR} - \rho_{Red}) / (\rho_{NIR} + \rho_{Red})$	Drisya And Roshni (2018)
ماهواره	كاربرى اراضى	۲-				۱۰	Supervised Classification	Killeen et al. (2015),
ماهواره لنdest	رطوبت خاک	۸-				۳۰	$SIWSI = \frac{R_{SWIR} - R_{NIR}}{R_{SWIR} + R_{NIR}}$	Fensholt And Sandholt (2003)
ماهواره لنdest	هدایت الکتریکی (شوری)	۸-				۳۰	$GDVI = (SR^n - 1) / (SR^n + 1)$ $= (\rho_{NIR}^n - \rho_R^n) / (\rho_{NIR}^n + \rho_R^n)$	Wu (2014)
							$EC = -2.87 - 23.27 \times \ln(GDVI) \text{ (dS/m)}$	

### الف) تهیه نقشه کاربری اراضی

برای تهیه نقشه‌های کاربری اراضی از روش طبقه‌بندی نظارت شده استفاده شد (Kileen et al., 2015). محدوده مورد مطالعه به شش طبقه که عبارت‌اند از: سوره‌زارها، زمین‌های باир، علفزار، باغ‌ها، مناطق مسکونی، مناطق انسان‌ساز و مناطق آبی دسته‌بندی شد و به صورت بصیری پس از بارگذاری در محیط گوگل ارث، محدوده طبقات کاربری اراضی با آخرین تصویر ماهواره‌ای کنترل و اصلاح شد.

### ب) تهیه نقشه شاخص NDVI

در سنجش از دور برای محاسبه پوشش گیاهی از شاخص‌های متعددی استفاده می‌شود که در پژوهش حاضر از نسبت تفاضلی باند مرئی قرمز به باند مادون‌قرمز نزدیک مطابق رابطه ۱ استفاده شده است (Drisya and Roshni, 2018):

$$NDVI = (\rho_{NIR} - \rho_{Red}) / (\rho_{NIR} + \rho_{Red}) \quad \text{رابطه (1)}$$

ρ بازتابندگی تصحیح شده سطح زمین باندهای مرئی قرمز و مادون قرمز نزدیک سنجنده OLI لندست ۸ است. مقدار شاخص NDVI از ۱- برای مناطق فاقد پوشش گیاهی تا ۱+ که نشان دهنده پوشش گیاهی کامل است، متغیر است.

پ) تهیه نقشه LST

برای محاسبه دمای سطح زمین و تهیه نقشه آن، در سه مرحله به تفصیل ذیل استفاده شده است (Jiang and Tian, 2010)

الف) تبدیل عدد رقومی (Digital Number) به تابش طیفی که بر اساس مقادیر مرجع تابش طیفی در وبسایت USGS و رابطه ۲ صورت پذیرفت:

$$L_\lambda = (M_L \times Q_{cal}) + A_L \quad \text{رابطه (۲)}$$

که در آن  $L_\lambda$  شعاع طیفی ( $\mu\text{m}^{-1} \text{ W m}^{-2} \text{ sr}^{-1}$ ) و  $Q_{cal}$  یک عدد رقومی در محل پیکسل موردنظر است و مقدار (RADIANCE\_ADD\_BAND)  $A_L$  و (RADIANCE\_MULT\_BAND)  $M_L$  از هدر فایل تصویری استخراج شده و در رابطه استفاده شده‌اند.

ب) تبدیل شعاع طیفی به دمای جسم سیاه: داده‌های باند حرارتی ماهواره لندست-۸ با استفاده از معادله پلانک (رابطه ۳) از توان تابشی طیفی به دمای جسم سیاه ( $T_B$ ) تبدیل می‌شود که در آن توان تابشی (تشعشعی) یک (حداکثر توان تابشی) مدنظر قرار گرفته شد.

$$T_B = \frac{k_2}{\ln(\frac{k_1}{L_\lambda} + 1)} \quad \text{رابطه (۳)}$$

که در رابطه ۳،  $T_B$  دمای مؤثر روی ماهواره بر حسب کلوین،  $k_1$  ثابت کالیبراسیون اول،  $k_2$  ثابت کالیبراسیون دوم و  $L_\lambda$  شعاع طیفی پیکسل‌ها ( $\mu\text{m}^{-1} \text{ W m}^{-2} \text{ sr}^{-1}$ ) برای پیکسل موردنظر است.

ج) تصحیح توان تابشی: تصحیح توان تشعشعی بر بازیابی صحیح دمای سطح و همچنین بر کیفیت اطلاعات به دست آمده از داده‌های مادون قرمز حرارتی مؤثر است. تصحیح توان تابشی برای تبدیل دمای جسم سیاه به دمای سطح زمین صورت گرفت. روش آستانه NDVI که بر اساس توان تابشی سطحی به ۳ دسته تقسیم می‌شود که یکی از گزینه‌های عملیاتی و عملی برای دستیابی به توان تابشی است؛

$\text{NDVI} < 0.2$ : نشان‌دهنده خاک لخت است و قدرت تابش خاک لخت در نظر گرفته می‌شود ( $\varepsilon_{\text{soil}}$  برابر با ۰/۹۷ است).

$0.5 < \text{NDVI} < 0.7$ : نشان‌دهنده مناطقی با پوشش گیاهی فراوان و قدرت تابشی پوشش گیاهی در نظر گرفته شده است ( $\varepsilon_{\text{soil}}$  برابر با ۰/۹۹ است).

$0.7 \leq \text{NDVI} \leq 0.9$ : در این حالت پیکسل‌ها مخلوطی از خاک و پوشش گیاهی هستند و برای اساس قدرت تابشی ( $\varepsilon_{\text{Mix}}$ ) به دست می‌آید.

$$\varepsilon = \varepsilon_{\text{Veg}} P_V + \varepsilon_{\text{Soil}} (1 - P_V) \quad (4)$$

نسبت پوشش گیاهی یکسان است و از رابطه ۵ به دست می‌آید:

$$P_V = (\text{NDVI} - \text{NDVI}_{\text{Min}}) / (\text{NDVI}_{\text{Max}} - \text{NDVI}_{\text{Min}})^2 \quad (5)$$

در معادله بالا  $\text{NDVI}_{\text{Mix}} = 0.5$  و  $\text{NDVI}_{\text{Min}} = 0.2$  است.

پس از محاسبه مقدار توان تابشی، LST با استفاده از رابطه ۶ محاسبه شد:

$$LST = \left[ \frac{T_B}{1 + (\lambda * T_B) \ln \varepsilon} \right] - 273.15 \quad (6)$$

که در رابطه ۶،  $\lambda$  طول موج تشعشعی (۱۱/۵ میکرومتر) و  $\varepsilon$  توان تشعشعی است.

ت) تهیه نقشه شوری سطح خاک

شاخص تعمیم‌یافته تفاوت پوشش گیاهی (GDVI) برای تهیه نقشه شوری خاک استفاده شد (Wu, 2014). شوری خاک با استفاده از رابطه ۷ محاسبه شده است:

$$GDVI = (SR^n - 1) / (SR^n + 1) = (\rho_{\text{NIR}}^n - \rho_R^n) / (\rho_{\text{NIR}}^n + \rho_R^n) \quad (7)$$

که SR شاخص نسبت ساده،  $\rho_{\text{NIR}}$  و  $\rho_R$  به ترتیب مقادیر بازتابی نزدیک به مادون‌قرمز و باند قرمز را نشان می‌دهند؛  $n$  نیز یک عدد صحیح غیرصفر از ۱ تا  $n$  تحت عنوان عدد توان است. زمانی که  $n = 1$  باشد،  $NDVI = GDVI = 1$  است که در آن  $n$  توان است؛ یک عدد صحیح با مقادیری از (۱, ۲, ۳, ..., n).

GDVI = NDVI همانند هم‌اند. محدوده دینامیکی کلی GDVI از ۱- تا ۱+ است و زمانی که  $n = 1$  باشد،

برای قابل فهم بودن توضیحات می‌توان بیان نمود، زمانی که ۴ و ۳، ۲ = n است GDVI به ترتیب به صورت  $GDVI^4$  و  $GDVI^3$ .  $GDVI^2$  نشان داده می‌شود.

$$EC = -2.87 - 23.27 * \ln(GDVI) \left( \frac{dS}{m} \right) \quad (8)$$

رابطه بین هدایت الکتریکی و GDVI برای شوری در رابطه ۸ مشخص شده است.

#### ج) تهیه نقشه رطوبت خاک

پوشش گیاهی و دمای سطح خاک رابطه پیچیده‌ای با رطوبت خاک دارد. میزان رطوبت خاک با استفاده از رابطه ۹ برآورد شد (Fensholt and Sandholt, 2003).

$$SIWSI = \frac{R_{SWIR} - R_{NIR}}{R_{SWIR} + R_{NIR}} \quad (9)$$

در رابطه فوق  $R_{SWIR}$  مقادیر بازتابی موج کوتاه باند مادون قرمز (SWIR) و  $R_{NIR}$  مقادیر بازتابی نزدیک به مادون قرمز (NIR) را بیان می‌کنند.

#### چ) تهیه نقشه DEM

برای دستیابی به نقشه DEM از محصولات ارائه شده توسط ماهواره ALOS Palsar با قدرت تفکیک مکانی ۱۲/۵ متر ([Www.vertex.daac.asf.alaska.edu](http://Www.vertex.daac.asf.alaska.edu)) استفاده شده است.

#### ح) تهیه نقشه شب

این لایه از مشتقات لایه DEM بوده و با همان مشخصات، استخراج شده است.

#### خ) تهیه نقشه بارندگی

برای تهیه نقشه میانگین بارندگی از محصولات سایت (CHIRIPS) استفاده شد. برای دستیابی به محصولات مربوطه از وبسایت ([Www.chc.ucsb.edu/data/chirips](http://Www.chc.ucsb.edu/data/chirips)) استفاده شد (Funk et al., 2015).

#### د) تهیه نقشه سرعت باد

اگر سرعت باد از آستانه‌ای فراتر رود، ذرات گردوغبار را از سطح زمین جدا کرده و در جو پراکنده می‌کند. برای تهیه نقشه سرعت باد از محصولات Terra Climate که مجموعه داده‌ای از آب و هوای ماهانه و رژیم‌های هیدرولوژیکی آب و هوای در سطح جهان است، استفاده شده است. این داده‌ها اطلاعات مهمی را برای مطالعات اکولوژیکی و هیدرولوژیکی جهانی فراهم می‌کند که به‌وضوح فضایی بالا و داده‌های متغیر زمان نیاز دارد. وضوح زمانی و تفکیک مکانی ماهانه همه داده‌ها تقریباً ۴ کیلومتر (۲۴/۱ درجه) است.

با تعیین مجموعه‌ای از معیارها برای ارزیابی گزینه‌های تصمیم‌گیری، لازم است که هر معیار به صورت یک لایه نقشه در پایگاه داده‌های GIS ذخیره شود. در اندازه‌گیری صفات، دامنه متنوعی از مقیاس‌ها مورد استفاده قرار

می‌گیرد. بر همین اساس، لازم است تا ارزش‌های موجود در لایه‌های مختلف نقشه به واحدهای قابل مقایسه و در تناسب با هم تبدیل شوند. با انجام این کار، نقشه‌های استاندارد و قابل مقایسه به دست خواهد آمد (Baharvand et al., 2017).

برای استانداردسازی از روش منطق فازی استفاده شد. در منطق فازی، ارزش‌ها در بازه صفر تا یک قرار می‌گیرند (محمدیان و گنجائیان، ۱۴۰۲). در به کارگیری روش فازی، تابع عضویت و چگونگی تعریف آن از اهمیت بالایی برخوردار است و تابع عضویت را می‌توان به صورت درجه تعلق عناصر مجموعه مرجع به زیرمجموعه‌های آن تعریف کرد (بهاروند و همکاران، ۱۳۹۶)؛ بنابراین، با استفاده از ابزار Fuzzy membership در محیط نرم‌افزار ArcGIS 10.8، اقدام به استانداردسازی این لایه با استفاده از توابع عضویت افزایشی - کاهشی شد. برای تلفیق لایه‌های از توابع همپوشانی فازی مانند AND، OR و Gamma معیار در وزن به دست آمده از روش AHP ضرب و سپس لایه‌های نهایی با یکدیگر تلفیق و در نهایت کانون‌های با پتانسیل تولید گردوغبار در جنوب شرقی دریاچه ارومیه شناسایی شدند.

فرایند AHP یک روش ساده محاسباتی بر پایه عملیات اصلی روی ماتریس است که با ایجاد سلسله‌مراتب مناسب و پردازش گام‌به‌گام و ساخت ماتریس‌های تطبیقی در سطوح مختلف سلسله‌مراتب، مقادیر ویژه آن را محاسبه کرده و در بردار ضرایب وزنی نهایی، اهمیت نسبی هر گزینه با توجه به هدف رأس سلسله‌مراتب تعیین می‌شود (Mohammadian and Ganjaeian, 2023). جزء روش‌های چندمعیاره است که با شناسایی و اولویت‌بندی عناصر تصمیم‌گیری شروع می‌شود. این عناصر شامل هدف، معیارها یا مشخصه‌ها و گزینه‌های احتمالی هستند. جهت ارزش‌دهی نهایی به معیارها از روش تطبیقی دودوئی بهره گرفته می‌شود که در آن دو معیار با همدیگر مقایسه و بر اساس میزان اهمیت آن‌ها و با توجه به هدف ما از تحلیل، ارزش‌های متفاوت می‌گیرند.

بعد از به دست آوردن وزن‌های نهایی لایه‌های اطلاعاتی اقلیمی و غیر اقلیمی اقدام به برهم‌نگاری این لایه‌ها با توجه به وزن‌های اختصاص داده شده به آن‌ها بر اساس الگوریتم AHP می‌شود. برای این کار ابتدا با استفاده از قابلیت نرم‌افزار GIS تمامی لایه‌ها تبدیل به لایه‌های رستری با اندازه پیکسلی یکسان گردید. به طوریکه با به کارگیری تابع باز نمونه‌گیری (Resampling) ابتدا تمامی لایه‌ها به ابعاد پیکسلی ۳۰ متری تبدیل گردید. در نهایت فرایند برهم‌نگاری صورت گرفت و نقشه نهایی که برآیند کلی تمامی لایه‌های اطلاعاتی مورد نظر با تأثیر وزن‌های ارائه شده است، تهیه شد.

### ۳- نتایج و بحث

در این بخش اقدام به بررسی و ارائه طبقه‌بندی هر کدام از عوامل و فاکتورهای تأثیرگذار در شناسایی نواحی مستعد تبدیل شدن به کانون گردوغبار ارائه می‌گردد.

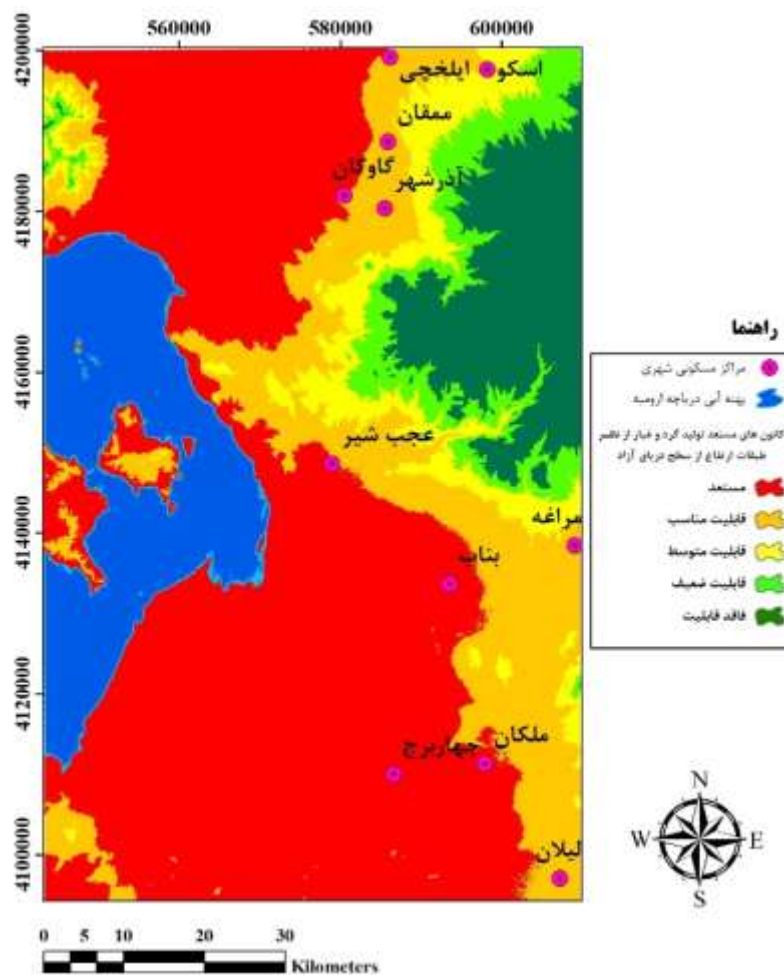
#### ۳-۱- فاکتورهای توپوگرافی

در تشکیل کانون‌های گردوغبار عامل ارتفاع به خودی خود نقش مستقیم ایفا نمی‌کند؛ بلکه از طریق تأثیرگذاری بر سایر عوامل محیطی از قبیل بارش، دما، رطوبت، پوشش گیاهی و خاک، می‌تواند شرایط تشکیل کانون‌های گردوغبار را محدود یا تشدید نماید. در ارتفاعات به دلیل وجود شب، ممکن است منابع شن و ذرات ریز که منبع تغذیه کانون‌های گردوغبار است به اندازه کافی در دسترس نباشد. در این مناطق رطوبت نسبی هوا بالا بوده و دمای سطح زمین نیز به دلیل رقیق بودن هوا نوسان بالایی دارد. به طورکلی نواحی هموار که دارای منابع تأمین شن و گردوغبار مناسب هستند، در ارتفاعات پایین‌تر، فراوانی بالاتری دارند (حیدری و همکاران، ۱۳۹۹) در حالی که در ارتفاعات بالاتر بارش و میزان ماندگاری آن نیز بیشتر است. بدین ترتیب ارتفاعات کمتر، شرایط مناسب‌تری برای تولید و توسعه کانون گردوغبار به دست می‌دهد. مطابق جدول ۳، برای تهیی نکشه طبقه‌بندی ارتفاع در محدوده موردمطالعه، از داده‌های مدل رقومی ارتفاع زمین استفاده گردید (شکل ۳).

جدول (۳): طبقه‌بندی ارتفاع بر اساس نقش‌آفرینی در تولید کانون‌های مستعد گردوغبار

Table (3): Elevation classification based on role in the production of dust sources

تصویف قابلیت	ارتفاع (متر)
مستعد تشکیل کانون	۱۲۰۰-۱۳۰۰
قابلیت مناسب برای تشکیل کانون	۱۳۰۰-۱۵۰۰
قابلیت متوسط برای تشکیل کانون	۱۵۰۰-۱۷۰۰
با قابلیت ضعیف	۱۷۰۰-۱۹۰۰
فاقد قابلیت	بیشتر از ۱۹۰۰



شکل (۳): طبقه‌بندی عامل ارتفاع بر اساس نقش آفرینی در تولید کانون‌های مستعد گردوغبار

**Fig. (3): Elevation classification based on the production of dust sources**

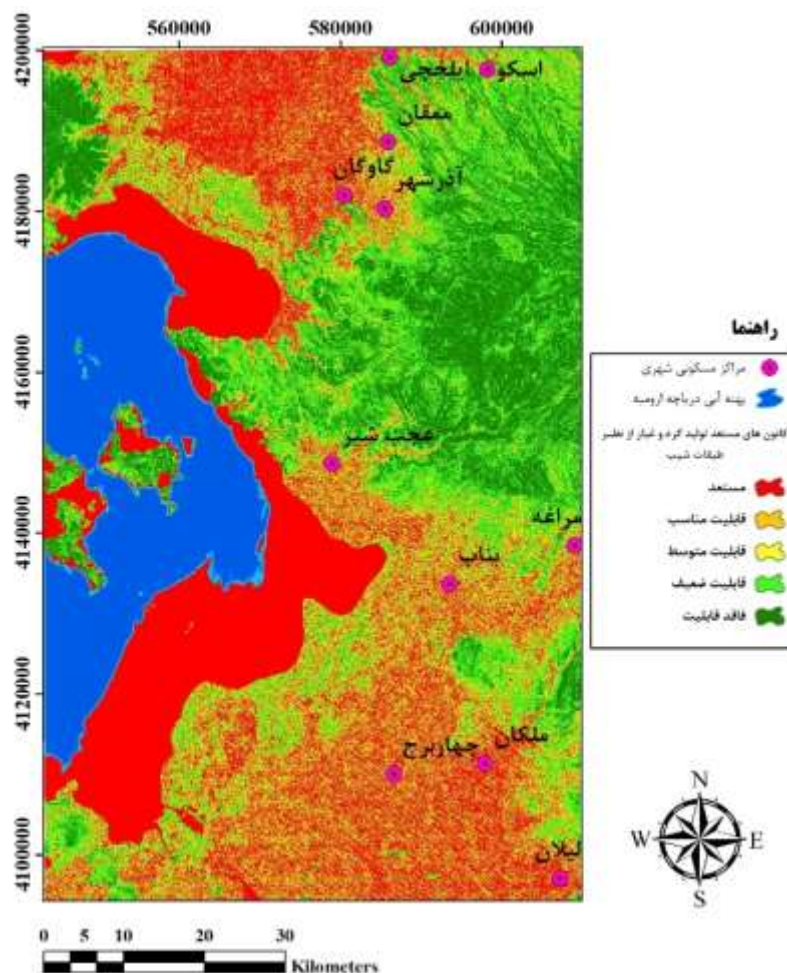
عامل شیب نیز به عنوان یکی از زیر فاکتورهای توپوگرافیک نقش مهمی در ایجاد و توسعه کانون‌های گردوغبار ایفا می‌کند. شیب از یک طرف با محدود کردن قابلیت نگهداری آب در خاک باعث زهکشی آب خاک شده و رطوبت خاک را کاهش می‌دهد؛ اما از طرف دیگر در شیب‌های تنامکان تشکیل و تکامل خاک و ذرات ریز وجود ندارد. شیب‌ها در دامنه‌های رو به آفتاب معمولاً از لحاظ رطوبت هوا و خاک خشک‌تر از شیب‌های پشت به آفتاب هستند. به طور کلی نواحی هموار با شیب‌های بین صفر تا ۳ درصد شرایط مناسب‌تری برای تشکیل کانون‌های گردوغبار فراهم می‌کنند و مطالعات (Prospero et al., 2002) نشان داده است که غالب کانون‌های گردوغبار در این دامنه از شیب‌ها قرار گرفته است. در جدول ۴، طبقه‌بندی شیب‌های محدوده ارائه شده است.

شکل ۴، وزن گذاری لایه شیب را مشخص می‌سازد. در محدوده مورد مطالعه با توجه به جدول ۴، آستانه ۳-۰ درصد مناسب‌ترین شیب در نظر گرفته شده است.

جدول (۴): طبقه‌بندی شیب بر اساس قابلیت تولید گرد و غبار بر اساس مطالعه (Prospero et al., 2002)

**Table (4): Slope classification based on role in the production of dust sources**

تصویف قابلیت	شیب (درصد)
مستعد تشکیل کانون	۰-۳
قابلیت مناسب برای تشکیل کانون	۳-۵
قابلیت متوسط برای تشکیل کانون	۵-۷
با قابلیت ضعیف	۷-۲۰
فاقد قابلیت	بیشتر از ۲۰

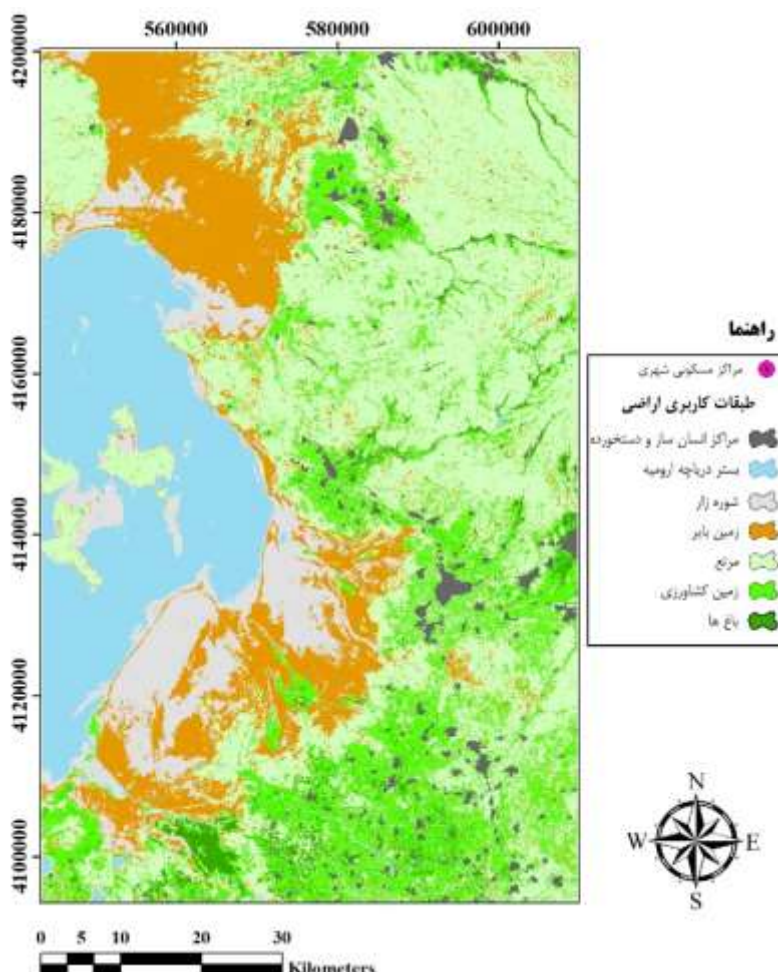


شکل (۴): لایه طبقه‌بندی عامل شیب در محدوده مورد مطالعه بر اساس نقش آن در تشکیل کانون گرد و غبار

Fig. (4): Slope classification based on role in the production of dust sources

### ۲-۳- عامل کاربری اراضی

عامل کاربری اراضی، یکی از فاکتورهای مؤثر در تولید گرد و غبار محسوب می‌گردد. زمین‌های بایر و شورهزارها مستعد تبدیل به کانون گرد و غبار است. چرا که با ازدستدادن رطوبت و با افزایش سرعت باد، ذرات به صورت معلق در هوا درآمده و باعث بروز مشکلات در محدوده تأثیر خواهند شد. در شکل ۵، طبقات کاربری اراضی نشان داده شده است. در جدول ۵، مساحت هر یک از طبقات کاربری بر حسب هکتار بیان شده است. کاربری‌های مربوط به شورهزارها، زمین‌های بایر و مرکز انسان‌ساز و دست‌خورده از کاربری‌های نقش‌آفرین در تولید گرد و غبار محسوب شده‌اند.



شکل (۵): طبقات کاربری اراضی در محدوده مورد مطالعه

**Fig. (5): Land use classes in the studied area**

جدول (۵): مساحت طبقات کاربری اراضی در محدوده مورد مطالعه

**Table (5): Land use classes in the studied area**

ردیف	طبقات کاربری اراضی	مساحت (هکتار)
۱	مراکز انسان ساخت و دست خورده	۶۵۵۹۲
۲	بستر دریاچه ارومیه	۱۰۵۵۰۰

ردیف	طبقات کاربری اراضی	مساحت (هکتار)
۳	شورهزار	۲۸۵۳۳۸
۴	زمین بازir	۱۰۹۹۰۴
۵	مرتع	۱۸۶۱۰
۶	زمین کشاورزی	۱۰۱۴۱۴
۷	باغها	۱۶۲۲۹

### ۳-۳- تلفیق لایه‌ها

در جدول ۶ وزن‌های نهایی هر کدام از عناصر ارائه شده است. همان‌طور که مشاهده می‌گردد، عامل رطوبت خاک مهم‌ترین و بالاهمیت‌ترین عامل در تعیین و شناسایی مناطق مستعد تبدیل شدن به کانون گردوغبار هست. وزن این عامل در تعیین و شناسایی مناطق مستعد کانون گردوغبار برابر  $0/264$  بوده است. عامل شیب در کنار سایر عناصر از کم‌اهمیت‌ترین عواملی است که می‌توانند در تولید و توسعه کانون‌های گردوغبار در محدوده مورد مطالعه ایفای نقش کنند. وزن این فاکتور در شناسایی نواحی مستعد تشکیل کانون گردوغبار برابر  $0/020$  است. شاخص ناسازگاری محاسبه شده برای این وزن گذاری همان‌طور که در جدول ۶ ارائه شده است برابر  $0/015$  بوده است که بیان‌گر آن است که میزان تنافق بین وزن‌های ارائه شده شاخص‌ها نسبت به یکدیگر، کمتر از آستانه مجاز (۱) است.

جدول (۶): ماتریس وزن‌های نهایی هر کدام از لایه‌های مؤثر در تشکیل و توسعه کانون‌های محلی گردوغبار در محدوده

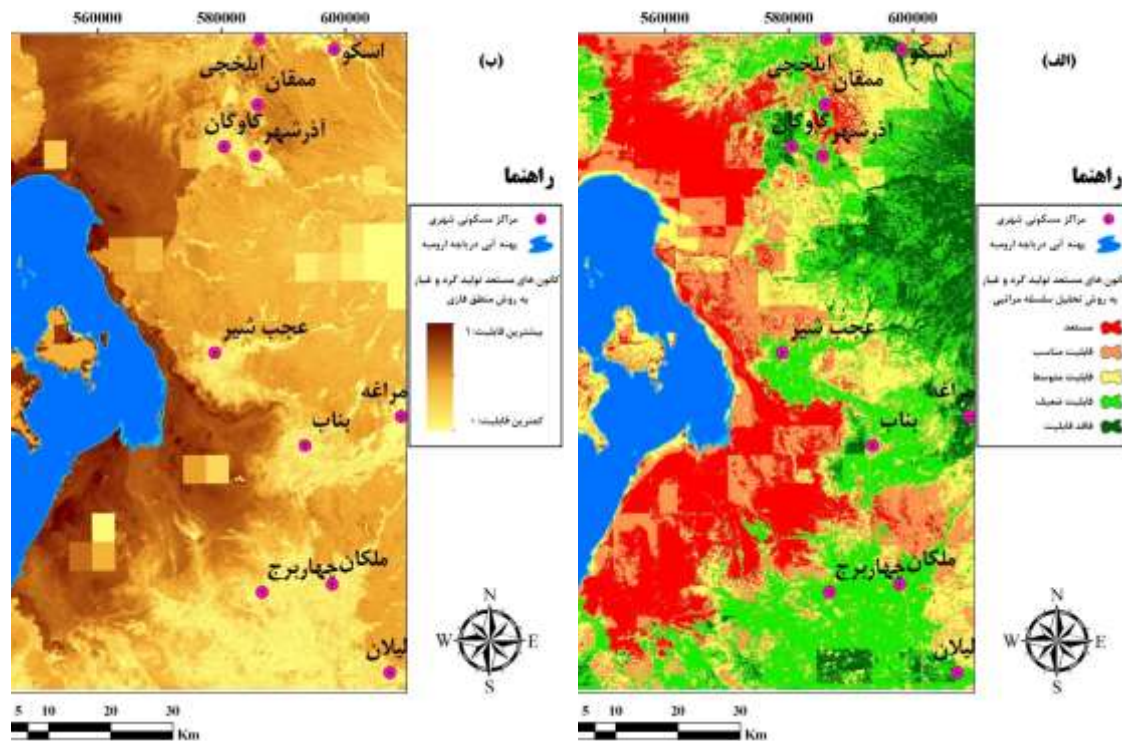
#### مورد مطالعه

**Table (6): The matrix of the final weights of each of the effective layers in the formation and development of local dust centers in the studied area**

نوع المان	فاکتور مؤثر	وزن استنتاجی از روش AHP
ارتفاع		$0/024$
عناصر یا المان‌های پایدار	شیب	$0/020$
	کاربری اراضی	$0/081$
	بارش	$0/107$
عناصر یا المان‌های ناپایدار	دمای سطح زمین	$0/064$
	سرعت باد	$0/153$
	پوشش گیاهی	$0/208$

نوع المان	فاکتور مؤثر	وزن استنتاجی از روش AHP
شوری خاک		۰/۰۸۱
رطوبت خاک		۰/۲۶۴
نسبت ناسازگاری (CR)		۰/۰۱۵
حد مجاز نسبت ناسازگاری		۱

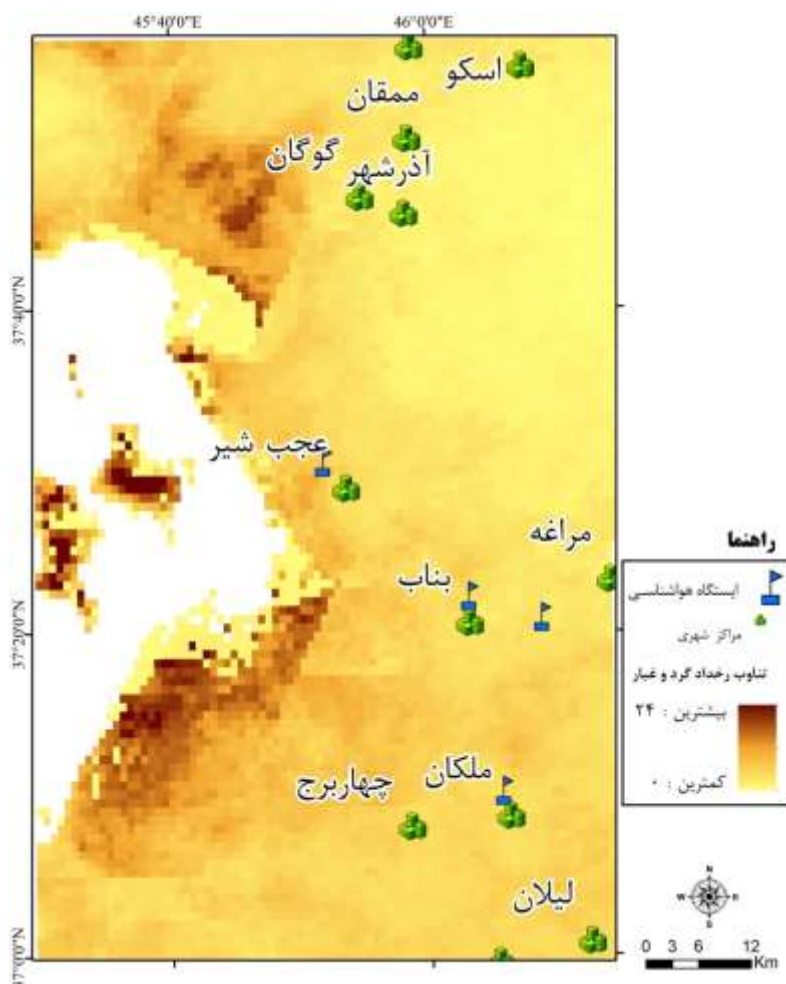
نقشه نهایی به دست آمده از فرایند برهم‌نهی وزن دار لایه‌های مورد بررسی که وزن‌های آن‌ها در جدول ۶ ارائه شده بود، به صورت نقشه شکل ۶ (الف) ارائه شده است. در شکل ۶ (ب) نتیجه نهایی استفاده از روش منطق فازی برای مشخص کردن کانون‌های مستعد تولید گردوغبار نیز ارائه شده است که با مقایسه این دو نقشه، می‌توان به صحت شناسایی کانون‌ها پی برد.



شکل (۶): نقشه نهایی ارزیابی قابلیت ایجاد و توسعه کانون‌های محلی گردوغبار در محدوده مورد مطالعه با در نظر گیری هم‌زمان فاکتورهای محیطی و اقلیم‌شناسی (الف) با استفاده از تحلیل سلسله‌مراتبی، (ب) با استفاده از منطق فازی (تذکر: در شکل (ب) به دلیل پیکسل‌های بزرگ برای المان‌های اقلیمی (بارندگی و سرعت باد) باعث بروز مشکلات در بصری‌سازی تصاویر هستیم. برای جلوگیری از دست‌کاری اطلاعات حاصله به منظور رفع مشکل به وجود آمده خودداری گردید).

**Fig. (6): The final map of the assessment of the possibility of creating and developing local dust sources in the studied area by simultaneously considering environmental and climatological factors a) using hierarchical analysis, b) using fuzzy logic (note: in figure (b) due to pixels Large values for climatic elements (rainfall and wind speed) cause problems in the visualization of images. In order to prevent the manipulation of the resulting information in order to solve the problem, it was avoided.**

باتوجه به ناکافی بودن تراکم ایستگاه‌های سینوپتیک هواشناسی در محدوده مورد مطالعه، امکان ارزیابی صحت نقشه‌های تولیدی با داده‌های اداره هواشناسی استان آذربایجان شرقی با مشکل مواجه گردید. برای صحت‌سنجی نقشه‌های تولیدی، از نقشه تناوب رخداد گردوغبار استخراجی در سامانه GEE استفاده شده است. برای تولید نقشه تناوب رخداد گردوغبار، از محصول عمق نوری هوایی‌ها (Aerosol Optical Depth) از محصول آندازه پیکسل (MCD19A2.006: Terra And Aqua MAIAC Land Aerosol optical Depth 1km) با اندازه پیکسل  $1\text{km} \times 1\text{km}$  استفاده شده است. در حقیقت، AOD صرفاً نشان‌دهنده گردوغبار نیست، بلکه اطلاعات آئروسل‌ها و ذرات موجود در جو را نیز شامل می‌شود. با این حال، بررسی‌های صورت‌گرفته نشان می‌دهد که بین گردوغبار و پروداکت AOD مادیس، رابطه خطی برقرار است. هرچه مقدار AOD بیشتر باشد، میزان گردوغبار موجود در جو نیز بیشتر است. اگر مقدار AOD بیش از  $0.5/0$  باشد، بیانگر یک رخداد گردوغبار است. مقدار عددی هر پیکسل نشان‌دهنده تعداد رخدادهای گردوغبار در آن است؛ برای مثال، یک پیکسل با مقدار عددی ۱۰ یعنی طی سال‌های ۲۰۱۳ تا ۲۰۲۰، ۱۰ بار در آن پیکسل گردوغبار رخ داده است (شکل ۷).



شکل (۷): نقشه تناوب رخداد گردوغبار

Fig. (7): Dust occurrence frequency map

در جدول ۷، آمار مربوط به رخدادهای گردوغبار ایستگاه‌های سینوپتیک در محدوده مطالعاتی آورده شده است که نشان می‌دهد که در طول دوره آماری در محدوده مطالعاتی، فعالیت گردوغباری در ایستگاه‌های سینوپتیک وجود داشته است؛ ولی به دلیل عدم نصب تجهیزات سنجش کیفیت هوا، امکان اندازه‌گیری غلظت گردوغبار میسر نگردیده است که با توجه به شرایط موجود نیاز است که ایستگاه‌های سنجش کیفیت جهت پایش فعالیت‌های گردوغباری، مدنظر تصمیم‌گیران باشد. با توجه به شکل ۸، مشاهده می‌گردد که در طی سال‌های

و ۲۰۱۹ و ۲۰۲۰، به دلیل وجود بارش، مقدایر رخداد گردوغبار در تمامی ایستگاه‌ها کاهش چشمگیری داشته است.

جدول (۷): دفعات رخدادهای گردوغبار ثبت شده در ایستگاه‌های سینوپتیک محدوده مطالعاتی

Table (7): The frequency of dust occurrences recorded in the synoptic stations of the study area

سال	ایستگاه				
	مواغه	ملکان	بناب	عجب‌شیر	۲۰۱۳
	۲۲	۹۶	۵۰	۱۰۰	
۲۰۱۴	۱۰	۵۴	۱۲	۳۸	
۲۰۱۵	۲۹	۸	۶۰	۱۱۷	
۲۰۱۶	۱۸	۵۹	۷۱	۱۷۴	
۲۰۱۷	۱۸	۷۲	۴۶	۸۴	
۲۰۱۸	۱۱	۳۹	۳۶	۷۳	
۲۰۱۹	۰	۲۹	۷	۹	
۲۰۲۰	۲	۱	۶	۴	



شکل (۸): دفعات رخداد گردوغبار در ایستگاه‌های سینوپتیک

در این پژوهش بهمنظور شناسایی کانون‌های مستعد گردوغبار از مهم‌ترین عناصر مؤثر در تولید گردوغبار از جمله سرعت باد، بارش، دمای سطح زمین، رطوبت خاک، شوری خاک، کاربری اراضی، ارتفاع از سطح دریاهای آزاد، شیب زمین و شاخص پوشش گیاهی استفاده شد. بر اساس نقشه کاربری اراضی، کاربری‌هایی از جمله پهنه‌آبی، زمین‌های بایر، شورهزارها، مراتع، باغات و مناطق ساخته شده در روند تحلیل مورد تجزیه و تحلیل قرار گرفتند.

هر کدام از کاربری‌ها نیز دارای ارزش خاص خود در تولید گردوغبار هستند که متفاوت از دیگر کاربری‌ها است. بر اساس نقشه کاربری اراضی، مناطق بایر و شورهزارها از قابلیت بالایی و در مقابل مناطق دارای پوشش گیاهی و پهنه‌آبی فاقد قابلیت تولید گردوغبار بوده‌اند. بر اساس مطالعات صورت‌گرفته (Tyba et al) به این نتیجه رسیده‌اند که مکان‌های با زبری کمتر، رطوبت کمتر خاک و حداقل پوشش گیاهی با ریسک بسیار بالایی در تولید گردوغبار مواجه هستند. در مطالعه‌ای که Engelstadler (2001) انجام داد، نشان داد که تولید گردوغبار به‌نوعی واکنش به تغییر پوشش گیاهی زمین است و نتایج به دست آمده در پژوهش نیز به نوعی موید و مشابه این موضوع است. به طوریکه مناطق شناسایی شده فاقد پوشش گیاهی بوده و زمین‌های بایر و لختی می‌باشند که در اثر پسروی آب دریاچه به وجود آمده‌اند. همچنین مطابق نتایج به دست آمده از مطالعات رایگانی و همکاران (۱۳۹۶) و فلاخ زوزولی و همکاران (۱۳۹۸)، عنصر سرعت باد نیز در تشدید وضعیت ایجاد گردوغبار مؤثر بوده است. با عنایت به این موضوع که ایران در کمربند خشک و نیمه‌خشک جهان قرار دارد و از طرفی در سال‌های اخیر به دلیل خشکسالی‌های متوالی و دست‌اندازی انسان و مدیریت غلط منابع آبی، دریاچه ارومیه دستخوش تغییرات قرار گرفته است و یکی از نتایج حاصل از خشک‌شدن بستر دریاچه ارومیه، تبدیل بستر آن به کانون گردوغبار است. نتایج حاصل از این پژوهش نشان داد که عناصر رطوبت خاک، پوشش گیاهی، سرعت باد و بارندگی از اهمیت بسیار بالایی در تولید گردوغبار برخوردارند ولی مجموعه‌ای از عوامل نیز در تشکیل کانون‌های مستعد تولید گردوغبار نقش ایفا نموده‌اند که از آن جمله می‌توان به نقشه کاربری اراضی نیز اشاره نمود (بروغانی و پورهاشمی، ۱۳۹۸). بر اساس مدیریت ناصحیح منابع آبی و پسروی آب دریاچه ارومیه، چرای بیش از حد دام، دست‌اندازی انسان در محیط همچون بهره‌برداری از معادن، بیابان‌زایی به واسطه رهاسازی زمین‌های کشاورزی، خشکسالی‌های متمادی و سایر عوامل، مناطق حاشیه دریاچه ارومیه تبدیل به کانون‌های بالقوه تولید گرد و غبار شده‌اند که در صورت ادامه چنین روندی، به کانون‌های بالفعل گرد و غبار تبدیل خواهند شد. همانطور که در اشکال ۶ و ۷ نیز قابل رویت است، شهرهای عجب‌شیر، بناب، گوگان از استان آذربایجان شرقی و شهر چهاربرج از استان آذربایجان غربی، بیشترین خسارت‌ها و خدمات را به دلیل نزدیکی به کانون‌ها مستعد تولید گردوغبار را تجربه می‌نمایند. با توجه به وجود روستاهای متعدد در نزدیکی مناطق مستعد شناسایی شده، بیشترین خدمات تحمیل این مناطق خواهد شد. برای مشخص شدن تأثیرات ناشی از گردوغبار محلی در

این مناطق، نیاز است مطالعات وسیع تری در آینده با بازه زمانی مناسب مدنظر قرار گیرد. با توجه به اثرات متعدد جانی، مالی و زیستمحیطی گردوغبار، پیشنهاد می‌گردد به منظور مقابله با طوفان‌های گردوغبار نسبت به تثبیت بستر دریاچه ارومیه، ایجاد پوشش گیاهی بالاخص گیاهان شورپسند، جلوگیری از گسترش فعالیتهای کشاورزی در حوضه آبریز دریاچه ارومیه، مدیریت یکپارچه و صحیح منابع آبی، جلوگیری از تخریب مراتع و تبدیل آن به مراتع فقیر، سیاست‌گذاری در اصول مصرف منابع آبی، آموزش کشاورزان در نحوه استفاده از منابع آبی، پنهان‌بندی استفاده از منابع آبی و مدیریت صحیح آن با الوبت حساسیت به تبدیل شدن کانون مستعد تولید گردوغبار اقدامات عاجل مدنظر تصمیم‌گیران حوضه آبریز دریاچه ارومیه قرار گیرد.

## تقدیر و تشکر

بدینوسیله از زحمات اساتید راهنمای و مشاوران محترم، دوست عزیزم جناب آقای مهندس سجاد مشیری و همسر عزیزم که مرا در پیشبرد اهدافم یاری نموده‌اند، کمال تشکر و قدردانی را دارم.

## ۵- منابع

- Alizadeh Govarchin Ghale, Y., Tayanc, M., And Unal, A. (2021). Dried bottom of Urmia Lake as a new source of dust in the northwestern Iran: Understanding the impacts on local and regional air quality. *Atmospheric Environment*, 262, 118635. DOI: <https://doi.org/10.1016/j.atmosenv.2021.118635>
- Ansari ghojghar, M., Pourgholam-Amiji, M., Bazrafshan, J., Liaghat, A., And Araghinejad, S. (2020). Performance Comparison of Statistical, Fuzzy and Perceptron Neural Network Models in Forecasting Dust Storms in Critical Regions in Iran. *Iran J Soil Water Res.*, 51(8), 2051-2063. (In Persian)
- Arami, S. A., Ownegh, M., Mohammadian Behbahani, A., Akbari, M., And Zarasvandi, A. (2018). The analysis of dust hazard studies in southwest region of Iran in 22 years (1996-2017). *Journal of Spatial Analysis Environmental Hazarts*, 5(1), 39-66. (In Persian)
- Avdan, U., And Jovanovska, G. (2016). Algorithm for automated mapping of land surface temperature using LANDSAT 8 satellite data. *Journal of Sensors*, 34, 1-8. DOI: <https://doi.org/10.1155/2016/1480307>
- Baharvand, S., Soori, S., And Rahnama Rad, J. (2017). Environmental hazards zonation landslide, earthquake, flood and erosion using AHP Fuzzy method (Case study: Vark Basin). *Journal of RS and GIS for Natural Resources*, 8(3), 89-103. (In Persian)
- Barhagh, S. E., Zarghami, M., Ghale, Y. A. G., And Shahbazbegian, M. R. (2021). System dynamics to assess the effectiveness of restoration scenarios for the Urmia Lake: A prey-predator approach for the human-environment uncertain interactions. *Journal of Hydrology*, 593, 125891.

- Boroughani, M., And Pourhashemi, S. (2019). Susceptibility Zoning of Dust Source Areas by Data Mining Methods over Khorasan Razavi Province. *Environmental Erosion Research Journal*, 9(3), 1-22. (In Persian)
- Drisya, J., And Roshni, T. (2018). Spatiotemporal variability of soil moisture and drought estimation using a distributed hydrological model. In *Integrating disaster science and management* (pp. 451-460). Elsevier. DOI: <https://doi.org/10.1016/B978-0-12-812056-9.00027-0>.
- Engelstädter, S. (2001). *Dust storm frequencies and their relationship to land surface conditions* (Doctoral dissertation, Friedrich-Schiller-Universität Jena).
- Fallah Zazuli, M., Vafaeinezhad, A., Kheirkhah Zarkesh, M.M., Ahmadi Dehka, F. (2019). Monitoring and Synoptic Analysis of Dust Haze Phenomenon using Remote Sensing and GIS (Case study: June 18, 2012 Dust haze). *Iran J Soil Water Res*, 6(91), 69-80. DOI: <https://doi.org/10.22131/sepehr.2014.12863> (In Persian)
- Feizizadeh, B.; Lakes, T.; Omarzadeh, D.; Sharifi, A.; Blaschke, T.; Karmizadeh, S.M. 2022. Scenario-based analysis of the impacts of lake drying on sustainable food production. *Nat. Sci. Rep.* DOI: <https://doi.org/10.21203/rs.3.rs-934137/v1>
- Fensholt, R., And Sandholt, I. (2003). Derivation of a shortwave infrared water stress index from MODIS near-and shortwave infrared data in a semiarid environment. *Remote Sensing of Environment*, 87(1), 111-121. DOI: <https://doi.org/10.1016/j.rse.2003.07.002>.
- Funk, C., Peterson, P., Landsfeld, M., Pedreros, D., Verdin, J., Shukla, S.,.... And Michaelsen, J. (2015). The climate hazards infrared precipitation with stations—a new environmental record for monitoring extremes. *Scientific data*, 2(1), 1-21. DOI: <https://doi.org/10.1038/sdata.2015.66>.
- Garajeh, M. K., Malakyar, F., Weng, Q., Feizizadeh, B., Blaschke, T., And Lakes, T. (2021). An automated deep learning convolutional neural network algorithm applied for soil salinity distribution mapping in Lake Urmia, Iran. *Science of The Total Environment*, 778, 146-253. DOI: <https://doi.org/10.1016/j.scitotenv.2021.146253>

Heidari, H., Yarahmadi, D., And Karampour, M. (2020). Identification of potential sources of dust in Lorestan province. *Journal of Spatial Analysis Environmental Hazards*, 7(3), 95-106. (In Persian)

<http://Idas.gsfc.nasa.gov>

<http://vertex.daac.asf.alaska.edu>

<http://www.chc.ucsb.edu>

Jamalpour Bergaini, S., Ahmadi, H., Moeini, A., And faraji, M. (2021). Detection of dust sources by land use type, using remote sensing techniques and fuzzy logic, case study: south-east Ahwaz. *Journal Of Watershed Engineering and Management*, 13(2), 255-268. (In Persian)

Jiang, J., And Tian, G. (2010). Analysis of the impact of land use/land cover change on land surface temperature with remote sensing. *Procedia environmental sciences*, 2, 571-575. DOI: <https://doi.org/10.1016/j.proenv.2010.10.062>

Katushabe, C., Kumaran, S., And Masabo, E. (2021). Fuzzy Based Prediction Model for Air Quality Monitoring for Kampala City in East Africa. *Applied System Innovation*, 4(3), 44. DOI: <https://doi.org/10.3390/asi4030044>

Killeen, P. G., Mwenifumbo, C. J., And Ford, K. L. (2015). Tools and techniques: radiometric methods. *Treatise on geophysics*, 447-524. DOI: <https://doi.org/10.1016/B978-0-444-53802-4.00209-8>

Mohammadian, K., and Ganjaeian, H. (2023). Evaluation and determination of land use according to the morphological condition of the river (Case study: Saimareh River). *Application of remote sensing and GIS in environmental sciences*, 3(9), 63-80. (In Persian)

Prospero, J. M., Ginoux, P., Torres, O., Nicholson, S. E., And Gill, T. E. (2002). Environmental characterization of global sources of atmospheric soil dust identified with the Nimbus 7 Total Ozone Mapping Spectrometer (TOMS) absorbing aerosol product. *Reviews of geophysics*, 40(1), 2-1. DOI: <https://doi.org/10.1029/2000RG000095>

Raygani, B., Kheyrandish, Z., Kermani, F., Mohammadi Miyab, M., And Torabiniya, A. (2017). Identification of active dust sources using remote sensing data and air flow simulation (Case study: Alborz province). *Desert Management*, 4(8), 15-26. (In Persian)

Shayesteh, K., Gharibi, S., Safikhani, M., And Arabi, S.A. (2020). Identifying Dust generation potential sources using fuzzy logic in Hamadan province. *Quarterly Journal of Environmental Erosion Research*, 10(2), 59-74. (In Persian)

Tyba, A., Qaragozlu, A., Almodaresi, S.A., And Abdollahi, H. 2014. Detection and Monitoring of Dust. *21th National Geometrics Conference*. 21.

Wu, W., 2014. The generalized difference vegetation index (GDVI) for dryland characterization. *Remote Sensing*, 6, pp. 1211–1233. DOI:  
<https://doi.org/10.3390/rs6021211>

Yassin, M. F., Almutairi, S. K., And Al-Hemoud, A. (2018). Dust storms backward Trajectories' and source identification over Kuwait. *Atmospheric research*, 212, 158-171. DOI:  
<https://doi.org/10.1016/j.atmosres.2018.05.020>



## **Identifying Potential Areas to Dust generation using fuzzy logic and AHP in the Southeast of Urmia Lake**

### **Abstract**

In addition to natural disasters such as floods, which cause great damage to the environment and human societies, the phenomenon of dust also causes irreparable damage to urban environments, transportation systems, respiratory systems, etc. Identifying Potential Dust Source Areas is considered the first step to control and prevent this phenomenon. Various researches have been conducted to identify dust sources, but most studies have relied on small-scale images. This research aims to use medium-scale satellite images to identify local areas prone to dust production. Google Earth Engine was used to analyze factors influencing dust generation, including slope, Digital Elevation Model (DEM), land use, soil salinity, Normalized Difference Vegetation Index (NDVI), soil moisture, wind speed, precipitation, and Land Surface Temperature (LST). Analytical Hierarchy Process (AHP) was used to assign weights to these elements. The resulting weights were: soil moisture (0.264), NDVI (0.208), wind speed (0.153), precipitation (0.107), land use/soil salinity (0.081), LST (0.064), DEM (0.024), and slope (0.020). The inconsistency index (0.015) indicated a high degree of consistency between the assigned weights, which is below the acceptable threshold (1). Due to the lack of ground-based air quality measurements, the Aerosol Optical Depth product (a satellite-derived measurement of airborne particles) was used to validate the resulting dust source maps. The final map showed that the potential for dust generation decreased closer to the heights of Sahand and increased closer to the lake.

**Keywords:** Dust, Urmia Lake, Geographical Information System, Google Earth Engine, AHP, Fuzzy Logic.